

ЖС20

жёлтое стекло
ГОСТ 9411

Отражающий фактор
 P_d **0,91**

Температура трансформации
 T_g [°C] **490**

Относительная
твёрдость по
сошлифованию
 H_s **0,38**

Плотность
 ρ [г/см³] **2,82**

Тепловое расширение
 α [20-300 °C]×10⁻⁶ К⁻¹ **10,4**

ИЗЮМСКИЙ
ПРИБОРОСТРОИТЕЛЬНЫЙ
ЗАВОД
государственное предприятие



Показатель преломления

Линия спектра	F	e	d	D	C
λ , нм	486,13	546,07	587,56	589,29	656,27
Элемент	H	Hg	He	Na	H
n	1,5400	1,5370		1,5350	1,5330

Положение полосы пропускания

d, мм	$\lambda_{ср.}$, нм	$\Delta\lambda_{0,5}$, нм	τ_{max}
1,00			
2,00			
3,00			
4,00			
5,00			
6,00			

Граница пропускания, λ_c ($\tau_i = \tau_{i,max}/2$)

d, мм	Коротковол.	Длинновол.
1		
2		
3		
4		
5		
6		

Координаты цветности

	d, мм	x	y	Y, %	$\lambda_{ср.}$, нм	ρ_c
A 2856 [K]	1,00	0,493	0,443	85	583	0,57
	2,00	0,517	0,453	80	583	0,80
	3,00	0,530	0,454	77	584	0,90
	5,00	0,544	0,449	70	586	0,95
3200 [K]	1,00	0,476	0,445	85	581	0,56
	2,00	0,503	0,460	80	582	0,80
	3,00	0,518	0,462	76	583	0,90
	5,00	0,535	0,457	69	584	0,96
D ₆₅	1,00	0,388	0,430	82	573	0,49
	2,00	0,437	0,479	75	574	0,77
	3,00	0,464	0,495	70	576	0,89
	5,00	0,491	0,495	62	578	0,96

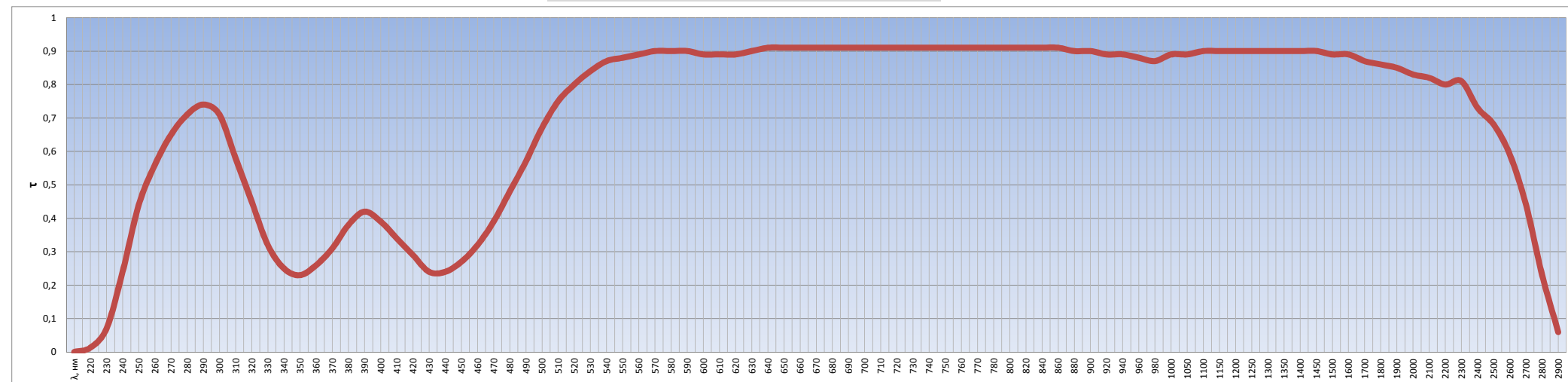
Предельное значение для τ_i при толщине образца 1 мм		
Длины волн, нм	Предельное значение	Значение по каталогу
300	≥0,69	0,81
360	≤0,35	0,26
560	≥0,94	0,97

Коэффициент пропускания $[\tau]$ и коэффициент внутреннего пропускания $[\tau_i]$

Для светофильтра толщиной 1 мм

λ , нм	220	230	240	250	260	270	280	290	300	310	320	330	340	350	360	370	380	390	400	410	420	430	440	450	460	470	480	490	500	510	520	
τ	2×10 ⁻⁴	1,3×10 ⁻³	0,07	0,24	0,44	0,56	0,65	0,71	0,74	0,71	0,58	0,45	0,32	0,25	0,23	0,26	0,31	0,38	0,42	0,39	0,34	0,29	0,24	0,24	0,27	0,32	0,39	0,48	0,57	0,67	0,75	
τ_i	2×10 ⁻⁴	1,4×10 ⁻³	0,07	0,27	0,48	0,62	0,72	0,78	0,81	0,78	0,64	0,49	0,35	0,27	0,26	0,28	0,34	0,42	0,46	0,43	0,37	0,32	0,26	0,27	0,30	0,35	0,43	0,52	0,63	0,73	0,82	
λ , нм	530	540	550	560	570	580	590	600	610	620	630	640	650	660	670	680	690	700	710	720	730	740	750	760	770	780	800	820	840	860	880	
τ	0,80	0,84	0,87	0,88	0,89	0,90	0,90	0,90	0,89	0,89	0,89	0,90	0,91	0,91	0,91	0,91	0,91	0,91	0,91	0,91	0,91	0,91	0,91	0,91	н/д	0,91	0,91	0,91	0,91	0,91		
τ_i	0,88	0,92	0,95	0,97	0,98	0,98	0,98	0,98	0,97	0,97	0,97	0,99	0,99	1,00	1,00	1,00	1,00	1,00	1,00	1,00	1,00	1,00	1,00	н/д	1,00	1,00	1,00	1,00	0,99	0,99		
λ , нм	900	920	940	960	980	1000	1050	1100	1150	1200	1250	1300	1350	1400	1450	1500	1600	1700	1800	1900	2000	2100	2200	2300	2400	2500	2600	2700	2800	2900	3000	
τ	0,90	0,90	0,89	0,89	0,88	0,87	0,89	0,89	0,90	0,90	0,90	0,90	0,90	0,90	0,90	0,90	0,89	0,89	0,87	0,86	0,85	0,83	0,82	0,80	0,81	0,73	0,68	0,59	0,44	0,23	0,06	
τ_i	0,99	0,99	0,98	0,97	0,96	0,95	0,97	0,98	0,98	0,99	0,99	0,99	0,99	0,99	0,99	0,99	0,98	0,98	0,97	0,96	0,95	0,93	0,92	0,90	0,88	0,89	0,81	0,74	0,65	0,48	0,25	0,06

График хода спектральной кривой пропускания $[\tau]$ Для светофильтра толщиной 1 мм



Примечание: Справочные данные координат цветности приведены в соответствии с каталогом